Синхронизация и десинхронизация в ансамблях мобильных агентов

Е.М. Варварин, Г.В. Осипов

Декабрь 2024

Аннотация. Анализируются механизмы возникновения и разрушения, а также характеристики синхронного и асинхронного режимов поведения ансамблей (роев) взаимодействующих мобильных агентов, двигающихся согласно хаотическим фазовым траекториям систем Ресслера и Лоренца. Продемонстрирована основанная на эффекте хаотической фазовой синхронизации возможность организации последовательного и параллельного движения агентов.

Ключевые слова: мобильный агент, ансамбль, хаотическая фазовая синхронизация, система Ресслера, система Лоренца.

1. Введение

В последние годы понятие "мобильный агент"[1] получило широкое распространение при моделировании процессов, в которых важно взаимное расположение отдельных агентов (частиц) в фазовом пространстве. Рассматриваются популяции мобильных агентов с импульсной связью с целью применения в системах роевой робототехники и мобильных сенсорных сетях [2]. Развивается и само понятие мобильного агента, разработана гибридная модель многоагентных систем, объединяющая преимущества метрических и топологических правил взаимодействия [3]. Условия включения связи между агентами также могут быть совершенно разнообразны, помимо взаимодействия на определенном расстоянии [4, 5], элементы могут взаимодействовать только с теми, кто входит в их поле зрения [6] или же при нахождении в заранее определенных зонах пространства [7]. В данной работе на примере хаотических аттракторов Ресслера и Лоренца демонстрируется возможность организации последовательного и параллельного движения агентов на основе эффекта хаотической фазовой синхронизации.

2. Модель

В качестве мобильного агента рассмотрим материальную точку, движущуюся в трехмерном пространстве (x,y,z) так, что ее траектория полностью совпадает с траекторией поставленного ей в соответствие осциллятора. Обобщенный вид, описывающий поведение ансамбля взаимодействующих частиц следующий:

$$\begin{cases} \dot{x}_{i} = f_{x} + d_{x} \left[\sum_{j=1}^{N} (x_{j} - x_{i}) \right] \\ \dot{y}_{i} = f_{y} + d_{y} \left[\sum_{j=1}^{N} (y_{j} - y_{i}) \right], \\ \dot{z}_{i} = f_{z} + d_{z} \left[\sum_{j=1}^{N} (z_{j} - z_{i}) \right] \end{cases}$$

$$(1)$$

В отсутствие связей $(d_x = d_y = d_z = 0)$ динамика отдельного агента может быть как регулярной, так и хаотической. В общем случае все агенты неидентичные.

Связь между i - тым и j - тым агентами включается только при их достаточной близости: тогда, когда агенты оказываются внутри цилиндра радиуса r:

$$d_k = \begin{cases} d', & (x_i - x_j)^2 + (y_i - y_j)^2 < r^2 \\ 0, & \text{в противном случае} \end{cases}$$
 (2)

где $k = \{x, y, z\}$, d' = const – параметр, определяющий силу связи. Связь между элементами во времени может быть организована тремя способами:

- а) после попадания траекторий в цилиндр связь между осцилляторами не отключается,
- b) связь может быть отключена после как какой-то из осцилляторов покинул цилиндр и
- с) связь может действовать только определенное время.

Если не оговорено специально, в работе рассматривается первый вариант.

Целью работы является исследование коллективной динамики ансамблей взаимодействующих агентов, двигающихся по хаотическим траекториям. Рассматривается коллективная динамика двух типов: когерентная синхронная динамика и не когерентная, полностью асинхронная динамика. При когерентной динамике в ансамблях возникает режим хаотической фазовой синхронизации. Для режим хаотической фазовой синхронизации двух условий: совпадение средних частот:

$$\Omega_i = \langle \nu_i \rangle = \Omega_i = \langle \nu_i \rangle \tag{3}$$

и наличие ограниченной разности фаз:

$$|\phi_i(t) - \phi_i(t)| \le const \tag{4}$$

В ансамблях синхронизация бывает как глобальной, так и кластерной. В первом случае все агенты двигаются по близким траекториям с некоторым интервалом между друг другом. Это обеспечивается наличием фазового сдвига $\phi_i(t) - \phi_j(t)$. Во втором случае ансамбли разбиваются на отдельные группы синхронно двигающихся агентов. Как будет показано ниже, объединение агентов в синхронные группы может происходить как при притягивающих, так и при отталкивающих связях. В первом случае движение агентов можно рассматривать как последовательной, а во втором как параллельное. Очевидно, что выбирая соответствующим образом топологию связей можно добиться комбинации последовательно и параллельного движения агентов.

В качестве осцилляторов, по траекториям которых двигаются агенты, рассматриваются система Ресслера и система Лоренца. Напомним, что в системе Ресслера хаотические колебания возникают в результате каскада бифуркаций удвоения периода предельных циклов. В зависимости от параметров системы хаотический аттрактор бывает фазо-когерентным (phase-coherent) (Puc. 1a) или аттрактором-воронкой (funnel) (Puc.1b). В системе Лоренца мы рассматриваем классический аттрактор Лоренца (Puc.1c,d) и хаотический аттрактор, возникающий через перемежаемость (Puc.1e).

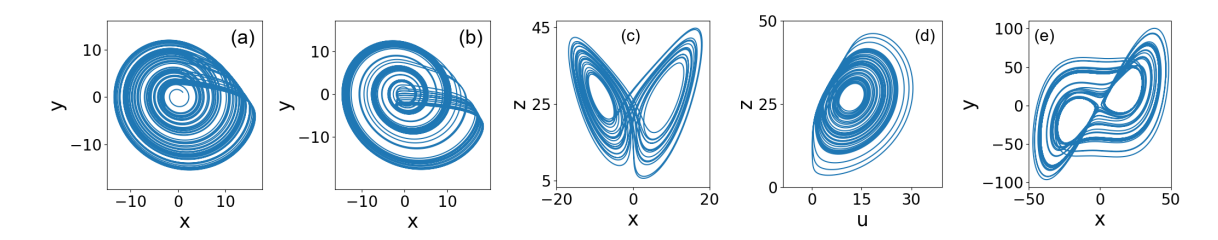


Рис. 1: Проекции хаотических аттракторов. (а) проекция на плоскость (x,y) аттрактора Ресслера (система (5)) в фазо-когерентном режиме (a=0.16, b=0.1, c=8.5), (b) проекция на плоскость (x,y) аттрактора Ресслера в режиме воронка (a=0.22, b=0.1, c=8.5), (c) проекция на плоскость (x,z) классического аттрактора Лоренца (система (12) при $d_y=0$) ($\sigma=10, b=8/3, r=28$), (d) проекция классического аттрактора Лоренца на плоскость $(u=\sqrt{x^2+y^2},z)$, (e) проекция на плоскость (x,y) аттрактора Лоренца, возникающий через перемежаемость $\sigma=10, b=8/3, r=166.1$

3. Синхронизация мобильных агентов.

Рассмотрим варианты синхронного поведения ансамблей агентов, движение которых происходит в соответствии с хаотическими траекториями системы Ресслера и системы Лоренца.

3.1. Система Ресслера

Пусть движение агента происходит по хаотической траектории системы Ресслера [8]:

$$\begin{cases} \dot{x}_{i} = -w_{i}y_{i} - z_{i} = f_{x} \\ \dot{y}_{i} = w_{i}x_{i} + ay_{i} = f_{y}, \quad i = \overline{1, N} \\ \dot{z}_{i} = b + z_{i}(x_{i} - c) = f_{z} \end{cases}$$
(5)

где a, b, c — положительные параметры. В последующих экспериментах примем a=0.16 для фазо-когерентного аттрактора и a=0.22 для аттрактора воронки, b=0.1, c=8.5. Параметр w_i , выбираемый случайно из интервала [0.93; 1.07] характеризует временные масштабы осцилляций. В нашем исследовании примем: d'=0.3, r=4. Значение параметр связи d' выбрано таким, что все взаимодействующие хаотические осцилляторы синхронизуются по фазе без введения параметра близости траекторий r [9, 10].

Параметры системы выбраны так, чтобы при достаточно близких к нулю начальных условиях (в настоящей работе рассматривался куб с длиной ребра 10 с центром в начале координат) фазовые траектории не уходили на бесконечность, а притягивались к хаотическому квазиаттрактору (см, например, [11]). Формально моделирование и указанный бифуркационный сценарий дают только хаотическое множество.

Введём фазу следующим образом:

$$\phi = \arctan \frac{\dot{y}}{\dot{x}} \tag{6}$$

Тогда формула для вычисления средней частоты примет вид:

$$\langle \dot{\phi} \rangle = \langle \nu \rangle = \langle \frac{\dot{y}\ddot{x} - \ddot{y}\dot{x}}{\dot{x}^2 + \dot{y}^2} \rangle$$
 (7)

Было проанализировано влияние параметра a на среднюю частоту системы (Рис. 2):

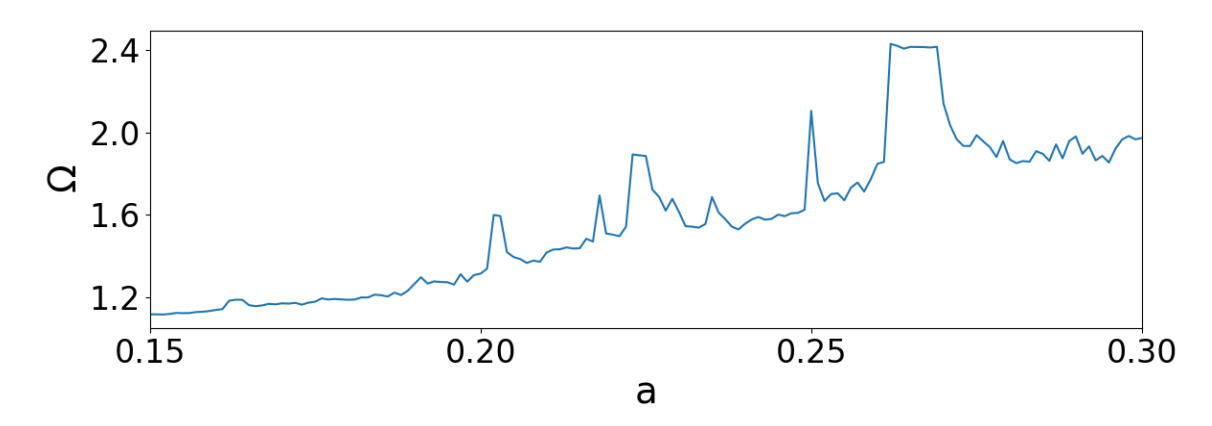


Рис. 2: Зависимость средней частоты от параметра a.

Прекрасно видно, что с ростом параметра a средняя частота агента растет. Соответственно, при больших значениях параметра a (при которых аттрактор всё ещё остается хаотическим), скорость синхронизации ансамбля агентов будет значительно выше, чем в случае фазо-когерентного аттрактора (a=0.16).

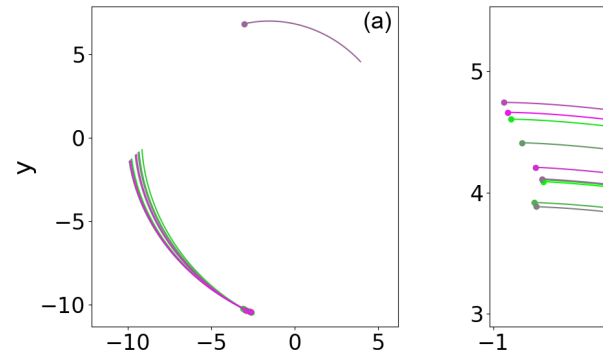
3.1.1. Связь по переменной y

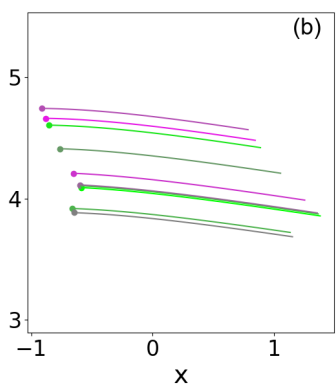
Рассмотрим коллективное поведения ансамбля из 10 мобильных агентов, движение которых подчиняется хаотической траектории системы Ресслера – фазокогерентному аттрактору. Пусть системы Ресслера связаны только по переменной y во втором уравнении системы (1), для этого d_y задаётся выражением (2), $d_x = 0$, $d_z = 0$.

Первые работы по хаотической фазовой синхронизации связанных систем Ресслера были посвящены анализу систем связанных по переменной y. Было обнаружено, что пара [10] и цепочка [13] связанных неидентичных систем Ресслера в хаотическом режиме переходят в синхронный режим при достижении некоторого критического значения параметра связи. В нашем случае связь между элементами включается только тогда, когда фазовые траектории какой-либо пары осцилляторов попадают внутрь цилиндра (2). Так как связь выбрана достаточно большой, то осцилляторы синхронизуются. У них имеет место совпадение средних частот и ограниченность фазовой расстройки $|\phi_i(t) - \phi_j(t)| \leq const$. При этом соответствующие мобильные агенты двигаются по близким траекториям на некотором расстоянии друг от друга (Рис.3а). (см также [12].)

3.1.2. Связь по переменной x

Пусть системы Ресслера связаны только по переменной x в первом уравнении системы (1), для этого d_x задаётся выражением (2), $d_y = 0$, $d_z = 0$. Аналогично связи по y, с течением времени агенты начнут объединяться, образуя кластеры. В итоге будет достигнута глобальная синхронизация. Но в данном случае движение будет не "по цепочке а все вместе, "единым фронтом". Поведение агентов похоже на случай "параллельное движение"[12], однако из-за отсутствия противоположно направленных связей агенты могут приближаться друг с другом на любое расстояние. Результаты представлены динамики ансамбля из 10 элементов на Рис. 3b.





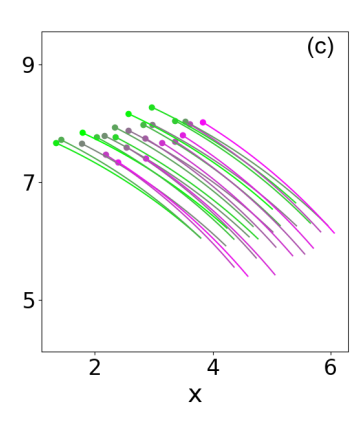


Рис. 3: Синхронизация ансамбля мобильных агентов. (а) последовательное движение агентов (друг за другом), связь по переменной y, $d_x = d_z = 0$ в системе (1), (b) параллельное движение агентов (единым фронтом), связь по переменной x, $d_y = d_z = 0$ в системе (1) (c) - движение в заданной конфигурации "решетка скомбинированные связи, аналогичные случаю "Придание рою мобильных агентов структуры различных геометрических форм"в [12].

3.1.3. Комбинированная связь по переменным х и у

Выше показано, что связь по переменной y обеспечивает последовательной движение агентов, а связь по переменной x обеспечивает параллельное движение. Подбирая соответствующим образом межэлементные связи легко получить всевозможные топологические структуры из синхронизованных агентов. На Рис.3с представлена конфигурация типа "двумерная решетка" размером 5x5.

3.2. Синхронизация аттракторов Лоренца

Используя связи, описанные выше, попробуем применить те же подходы для синхронизации другого хаотического аттрактора – аттрактора Лоренца, записанного в следующем виде:

$$\begin{cases} \dot{x}_{i} = \sigma(y_{i} - x_{i}) \\ \dot{y}_{i} = r_{i}x_{i} - y_{i} - x_{i}z_{i} + d_{y} \cdot \left[\sum_{j=1}^{N} (y_{j} - y_{i})\right], & i = \overline{1, N} \\ \dot{z}_{i} = -bz_{i} + x_{i}y_{i} \end{cases}$$
(8)

где $b=\frac{8}{3},\ \sigma=10,$ значения параметра r будут определяться типом аттрактора Лоренца.

Рассмотрим аттракторы Лоренца двух видов:

• Классический аттрактор Лоренца. Для системы из пяти элементов возьмем $r_i \in [28;28.1]$. Формула для фазы известна и вычисляются следующим образом:

$$\phi = \arctan \frac{z - z_0}{u - u_0},\tag{9}$$

где $u = \sqrt{x^2 + y^2}$, $u_0 = 12$ и $z_0 = 27$.

• Аттрактор Лоренца, возникающий через перемежаемость (intermittent). В этом случае $r_i \in [166.1; 166.2]$

$$\phi(t) = 2\pi \frac{t - t_n}{t_{n+1} - t_n} + 2\pi n, t_n \le t \le t_{n+1}, \tag{10}$$

Где $[t_n; t_{n+1}]$ — цикл, состоящий из одной ламинарной и одной турбулентной стадий под номером n. Подробнее этот подход описан в [14].

Результаты численного моделирования процесса синхронизации для систем Лоренца, демонстрирующих оба типа хаотического поведения, представлены на Рис. 4. В обоих случаях, как для связанных осцилляторов Ресслера, сначала наступает кластерная синхронизация, а затем глобальная. Связь подобрана таким образом, что имеет место последовательное движение мобильных агентов. Следует отметить, что переход к режиму глобальной синхронизации происходит в течение короткого времени.

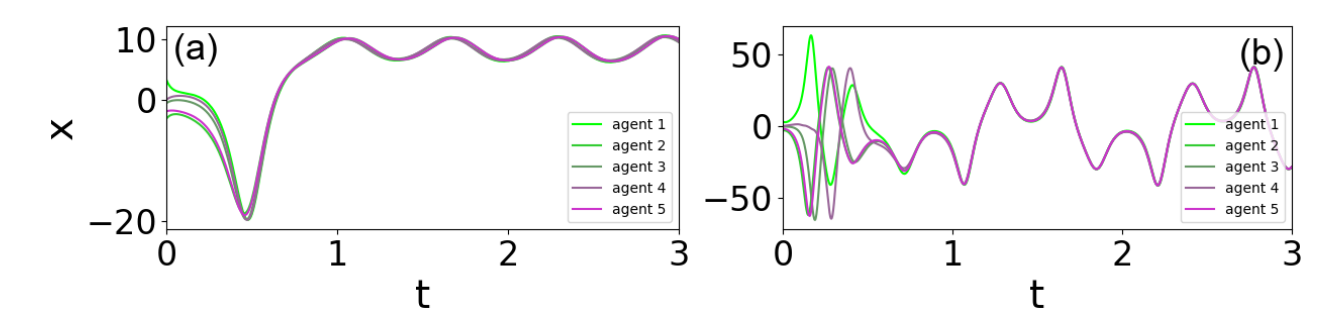


Рис. 4: Синхронизация систем Лоренца. (а) — синхронизация в случае существования классического аттрактора, (b) — синхронизация в случае аттрактора, возникшего через перемежаемость. Начальные условия для каждого агента генерировались случайно, $x \in [-5; 5], y \in [-5; 5], z \in [-1; 1]$.

4. Десинхронизация роя

4.1. Введение связи по переменной z

В предыдущих примерах стояла задача достижения синхронного режима поведения мобильных агентов. В данном разделе будут обсуждаться способы десинхронизации — разрушения синхронного режима. Оказалось, что добиться этого можно введением межэелементной связи по переменной z в третье уравнение системы (1).

Для демонстрации эффекта десинхронизации был проведен следующий эксперимент: сначала за счет связи по переменной y был обеспечена глобальная синхронизация агентов. Они последовательно двигались (см Рис. 2 (а)) в некоторой локальной движущейся в соответствии с фазовыми траекториями осцилляторов области L фазового пространства. Далее, после включения связи по переменной z, агенты в следствии взаимодействия поочередно вылетали за пределы области L. Связь по переменной z в такой постановке является отталкивающей. Результаты описанного выше эксперимента представлены на Рис. 5.

4.2. Изменение величины межэлементных связей и уменьшение радиуса действия связи

Для решения задачи десинхронизации роя возможно применение двух простых алгоритмов. В первом случае разрушить синхронный режим можно уменьшив величину межэлементной связи d'. В силу разных положений в момент уменьшения (или отключения) связи хаотические системы не будут синхронизованы: будет иметь

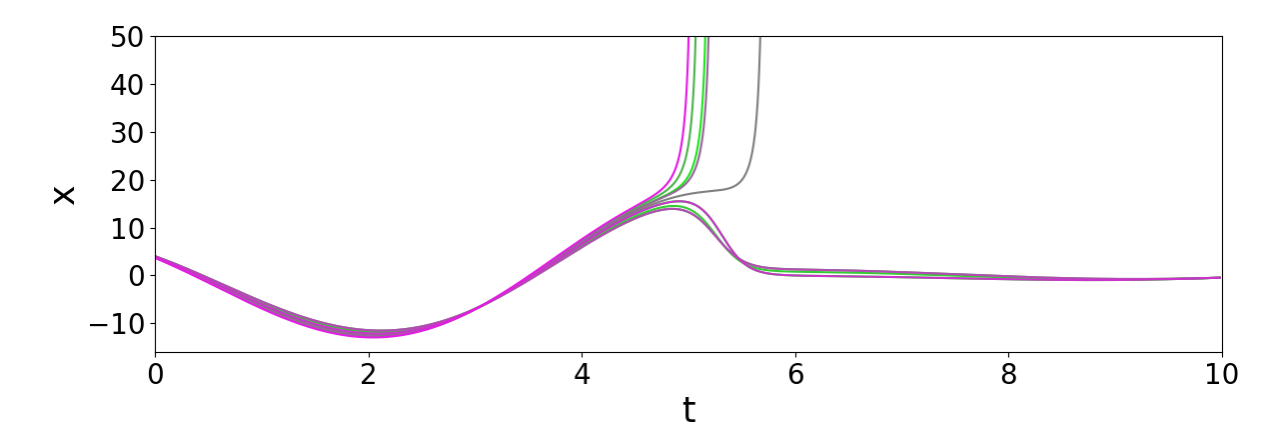


Рис. 5: Добавление в глобально синхронизированную систему связи по z. Изначально в аттракторе 10 агентов. Довольно быстро 8 агентов оказываются за пределами области L. При t>6 синхронизованными остаются только два агента. Через некоторое время (на рисунке момент не указан) между оставшимися агентами происходит десинхронизация.

место разбегание фазовых траекторий. Во втором случае к десинхронизации может привести уменьшение величины радиуса цилиндра, в котором включена связь между агентами (r). Вследствие хаотического поведения мобильных агентов при уменьшении величины r какие-либо хаотические траектории могут покинуть область L и количество синхронизованных элементов сократиться.

5. Результаты

В результате исследования синхронизации и десинхронизации роя мобильных агентов получено следующее:

- На примере ансамблей взаимодействующих мобильных агентов, траектории движения которых подчиняются системам Ресслера и Лоренца в хаотических режимах, было рассмотрено влияние различных видов связей на коллективную динамику, в частности на возникновение синхронных режимов. Показана возможность организации последовательного и параллельного движения агентов и организации различных топологических конфигураций роя агентов;
- Для случая хаотических аттракторов Ресслера были предложены и успешно протестированы три способа десинхронизации роя: при введение дополнительной связи по переменной z, при уменьшении межэелементной связи и при уменьшении радиуса действия связи.

6. Благодарности

Работа выполнена при финансовой поддержке гранта РНФ #23-12-00180 (задача синхронизации) и проекта № 0729-2020-0036 Министерства науки и высшего образования Российской Федерации (задача десинхронизации)

Список литературы

- [1] Y. Liu, M. Bi, T. Yuan and J. Song, // Event-triggered consensus tracking for multiple agents with nonlinear dynamics, 2018 33rd Youth Academic Annual Conference of Chinese Association of Automation (YAC), Nanjing, China, 2018, pp. 1055-1060, DOI: 10.1109/YAC.2018.8406527.
- [2] F. Perez-Diaz, R. Zillmer and R. Groß // Control of Synchronization Regimes in Networks of Mobile Interacting Agents, Phys. Rev. Appl., V. 7 (5), P. 054002 (2017). DOI: 10.1103/PhysRevApplied.7.054002.
- [3] L. Wang and G. Chen // Synchronization of multi-agent systems with metric-topological interactions, Chaos: An Interdisciplinary Journal of Nonlinear Science, V. 26 (1054-1500), P. 094809 (2016). DOI: 10.1063/1.4955086.
- [4] S. Majhi, D. Ghosh and J. Kurths // Emergence of synchronization in multiplex networks of mobile Rössler oscillators, Phys. Rev. E., V. 99, P. 012308 (2019). DOI: 10.1103/PhysRevE.99.012308.
- [5] L. Wang, P. Xue, Z. Kong, X. Wang // Locally and Globally Exponential Synchronization of Moving Agent Networks by Adaptive Control, Journal of Applied Mathematics, V. 2013, P. 1 (2013). DOI: 10.1155/2013/241930.
- [6] F. Perez-Diaz, R. Zillmer and R. Groß // Firefly-Inspired Synchronization in Swarms of Mobile Agents in AAMAS '15 Proceedings of the 2015 International Conference on Autonomous Agents and Multiagent Systems. Link: researchgate.net/publication/281205067.
- [7] B. Kim, Y. Do and Y.C. Lai. // Emergence and scaling of synchronization in moving-agent networks with restrictive interactions, Phys Rev E Stat Nonlin Soft Matter Phys., V. 88(4), P. 042818 (2013). DOI: 10.1103/PhysRevE.88.042818.
- [8] V.A. Levin, G.V. Osipov // Controlling the motion of a group of mobile agents, Tech. Phys. Lett., V. 42, P. 298 (2016). DOI: 10.1134/S1063785016030251.
- [9] G. V. Osipov, B. Hu, C. Zhou, J. Kurts // Three Types of Transitions to Phase Synchronization in Coupled Chaotic Oscillators, Phys. Rev. Lett., V. 91 (2), P. 024101 (2003). DOI: 10.1103/PhysRevLett.91.024101.
- [10] M. G. Rosenblum, A. S. Pikovsky and J. Kurths // Phase Synchronization of Chaotic Oscillators, Phys. Rev. Lett., V. 76(11), P. 1804 (1996). DOI: 10.1103/PhysRevLett.76.1804.
- [11] N. Stankevich // Stabilization and complex dynamics initiated by pulsed force in the Rössler system near saddle-node bifurcation, Nonlinear Dyn, V. 112, P. 2949–2967 (2024). DOI: 10.1007/s11071-023-09183-2.
- [12] Е. М. Варварин, Г. В. Осипов // Синхронизация и управление движением ансамбля мобильных агентов Письма в ЖТФ V. 13 (50), Р. 34 (2024). DOI: 10.61011/PJTF.2024.13.58167.19836.
- [13] G. V. Osipov, A. S. Pikovsky, M. G. Rosenblum and J. Kurts // Phase synchronization effects in a lattice of nonidentical Rössler oscillators, Phys. Rev. E., V. 55 (3), P. 2353 (1997). DOI: 10.1103/PhysRevE.55.2353.

[14] G. V. Osipov, J. Kurts, C. Zhou // Synchronization in oscillatory networks (Springer, Berlin Heidelberg New York, 2007), P. 20.